

УДК 539.3

А. Г. КОЛПАКОВ

ЖЕСТКОСТНЫЕ ХАРАКТЕРИСТИКИ НАПРЯЖЕННЫХ НЕОДНОРОДНЫХ СРЕД

Рассматривается задача усредненного описания деформирования (колебаний) напряженных микронеоднородных сред (композиционных, высокопористых и т. п.). На ряде конкретных задач исследуется зависимость усредненных упругих характеристик (в частности, скорости распространения длинноволновых колебаний) от начальных напряжений.

1. Микронеоднородные тела с начальными напряжениями. Деформирование тел с начальными напряжениями (в том числе и микронеоднородных тел с характерным размером неоднородностей $\epsilon \ll 1$) $\{\sigma_{ij}^{0\epsilon}\}$ определяется из решения следующей задачи (получена на основании вариационного принципа [1]):

$$\sigma_{ij,j} + (\sigma_{ik}^{0\epsilon} u_{i,k})_{,j} = \rho^\epsilon \partial^2 u_i^\epsilon / \partial t^2 + f_i(x, t) \quad (1.1)$$

где \mathbf{u}^ϵ — вектор перемещений, $\rho^\epsilon(\mathbf{x})$ — удельный вес, $\{\sigma_{ij}^{0\epsilon}\}$ — тензор начальных напряжений. При помощи закона Гука для неоднородного материала $\sigma_{ij} = a_{ijkl}(\mathbf{x}) e_{kl}$ уравнение (1.1) может быть переписано в виде

$$\{[a_{ijkl}^\epsilon(\mathbf{x}) + \delta_{ik} \sigma_{jl}^{0\epsilon}(\mathbf{x})] u_{n,l}\}_{,j} = \rho^\epsilon \partial^2 u_i^\epsilon / \partial t^2 + f_i(\mathbf{x}, t) \quad (1.2)$$

Уравнения собственных колебаний получаются путем замены правой части (1.2) на $-\omega_\epsilon^2 \mathbf{u}^\epsilon$ (ω_ϵ — собственные частоты), уравнения статического деформирования — исключением члена $\rho^\epsilon \partial^2 \mathbf{u}^\epsilon / \partial t^2$ [1]. Уравнение (1.2) дополняется граничными и начальными (в случае динамической задачи) условиями. Для тела, закрепленного на границе области Q , занятой телом

$$\mathbf{u}^\epsilon|_{\partial Q} = 0, \quad \mathbf{u}^\epsilon(\mathbf{x}, 0) = \mathbf{u}_0(\mathbf{x}), \quad \frac{\partial \mathbf{u}^\epsilon}{\partial t}(\mathbf{x}, 0) = \mathbf{u}_1(\mathbf{x}) \quad (1.3)$$

Связь задач усреднения эллиптических и соответствующих им гиперболических уравнений изучена в [2–5]. Из указанных работ следует, что усредненное уравнение для (1.2) имеет вид $\langle \rho^\epsilon \rangle \partial^2 u_i / \partial t^2 = (A_{ijkl}^\epsilon u_{n,l})_{,j} - f_i$, где $\{A_{ijkl}^\epsilon\}$ — усредненные коэффициенты стационарного уравнения.

Ниже рассматривается вопрос об усреднении задачи (1.2), (1.3), т. е. об ее асимптотическом поведении, при условии, что характерный размер неоднородностей $\epsilon \rightarrow 0$. Как видно из (1.2) задача состоит в проведении усреднения уравнения с коэффициентами $a_{ijkl}^\epsilon(\mathbf{x}) + \delta_{ik} \sigma_{jl}^{0\epsilon}(\mathbf{x})$ (при условии выполнения для них ряда стандартных требований). Потребуем, чтобы коэффициенты $a_{ijkl}^\epsilon(\mathbf{x}) + \delta_{ik} \sigma_{jl}^{0\epsilon}(\mathbf{x})$ задавали положительно определенный оператор на функциональном пространстве $\{H_0^1(Q)\}^3$ [2]. Далее, будем рассматривать среды периодического строения [2, 3]. Их материальные характеристики имеют вид

$$a_{ijkl}^\epsilon(\mathbf{x}) = a_{ijkl}(\mathbf{x}/\epsilon) \quad (1.4)$$

где $a_{ijkl}(\mathbf{y})$ — периодические функции с ячейкой периодичности P_1 (длина

граней P_1 — порядка единицы). Тогда функции $a_{ijkl}(x/\varepsilon)$ имеют ячейку периодичности $P_\varepsilon = \varepsilon P_1$ и задают быстроосциллирующее распределение материальных характеристик. Как показано в [2, 3] локальные напряжения $\{\sigma_{ij}^{\circ\varepsilon}(x)\}$, если они определяются из решения задачи теории упругости с тензором упругих постоянных $\{a_{ijkl}(x/\varepsilon)\}$, асимптотически (в $L_2(Q)$) равны

$$\sigma_{ij}^{\circ\varepsilon}(x) = \sigma_{ij}(x) + (a_{ijmn}(x/\varepsilon) N_{m,n}^{hl}(x/\varepsilon)) u_{h,l}(x) \quad (1.5)$$

где $u(x)$ — решение усредненной задачи (не зависящее от переменной x/ε), $\{N^{hl}\}$ — решения ячейочной задачи теории упругости, см. [2]. Мы будем использовать далее равенство (1.5) как точное (хотя асимптотика (1.5) обоснована как поточечная, в пространстве $C(Q)$, только в одномерном случае [6], что соответствует телам слоистого строения).

К операторам (1.2) с коэффициентами $A_{ijkl}(x/\varepsilon) = a_{ijkl}(x/\varepsilon) + \delta_{ik}\sigma_{jl}^{\circ\varepsilon}(x)$ вида (1.4), (1.5) применимы классические методы усреднения уравнений с периодическими коэффициентами [2, 3]. Таким образом задача состоит (с формальной точки зрения) просто в вычислении соответствующих усредненных постоянных. Однако, в общем случае осуществить это не удастся.

Замечание 1. Для решения поставленной задачи в общем случае надо провести вычисление G -предела (определение см., например, в [4, 5, 8]) последовательности операторов (1.2), выразив результат через пределы (какого-либо типа) операторов с коэффициентами $\sigma_{ij}^{\circ\varepsilon}(x)$ и $a_{ijkl}^{\circ\varepsilon}(x)$. О методах вычисления пределов сумм вида $G\text{-}\lim_{\varepsilon \rightarrow 0} (M_\varepsilon + L_\varepsilon)$ ($M_\varepsilon, L_\varepsilon$ — дифференциальные операторы одного порядка) или [7] $G\text{-}\lim_{\varepsilon \rightarrow 0} (I_\varepsilon + J_\varepsilon)^*$ (где $I_\varepsilon, J_\varepsilon$ — потенциалы операторов $M_\varepsilon, L_\varepsilon$) ничего не известно. Однако, можно получить решения для двух следующих случаев: 1. когда начальные напряжения малы $\sigma_{ij}^{\circ\varepsilon} = \delta\sigma_{ij}^{\circ}(x/\varepsilon)$ ($\delta \ll 1$); 2. когда удается решить задачу в явном виде (в частности, удается решить ячейочную задачу [2, 3] аналитически).

Замечание 2. При неположительности матрицы $\{\sigma_{ij}^{\circ\varepsilon}(x)\}$ (например, при наличии в теле сжимающих напряжений) стационарная часть уравнения (1.2) может утратить положительную определенность. В указанных выше двух случаях задача сохраняет свой тип (случай 1) или тип задачи легко контролируется (случай 2).

2. Случай малых начальных напряжений. Пусть $\sigma_{ij}^{\circ\varepsilon}(x) = \delta\sigma_{ij}^{\circ}(x)$, где $\delta \ll 1$ ($\{\sigma_{ij}^{\circ}\}$ даются (1.4)). Для решения задачи может быть применен классический метод малого параметра (в качестве малого параметра выступает $\delta \ll 1$). Ячейочная задача метода усреднения имеет вид [2, 4, 5] (приводится в удобной для дальнейшего вариационной постановке [5]):

$$\int_{P_1} [a_{ijkl}(y) + \delta b_{ijkl}(y)] (N_h^{\alpha\beta} + x_\alpha \delta_{\beta h})_{,l} \varphi_{i,j} dy = 0 \quad (2.1)$$

для любой $\varphi \in \Pi(P_1)$ — замыкание множества периодических на P_1 функций из $C^\infty(P_1)$ по норме $W_2^1(Q)$. При этом $N^{\alpha\beta} \in \Pi(P_1)$. Обозначено $b_{ijkl}(y) = \delta_{ik}\sigma_{jl}^{\circ}(y)$. Усредненные характеристики даются формулой [2, 3]:

$$\begin{aligned} A_{ijkl}^{\sim} &= (\text{mes } P_1)^{-1} \int_{P_1} [a_{ijkl}(y) + \delta b_{ijkl}(y)] [(N_{h,l}^{\alpha\beta} + \delta_{\alpha l} \delta_{\beta h}) dy N_{h,l}^{\alpha\beta} dy = \\ &= (\text{mes } P_1)^{-1} \left\{ \int_{P_1} [a_{ijkl}(y) + \delta b_{ijkl}(y)] dy - \right. \\ &\quad \left. - \int_{P_1} [a_{pqhl}(y) + \delta b_{pqhl}(y)] N_{p,q}^{ij} N_{h,l}^{\alpha\beta} dy \right\} \end{aligned} \quad (2.2)$$

Последнее равенство вытекает из (2.1) при $\varphi = N^{ij}$ (после проведения элементарных алгебраических преобразований). Усредненная задача имеет вид $(A_{ijkl}^{\sim} u_{h,l})_{,j} = \langle \rho^e \rangle \partial^2 u_i / \partial t^2 + f_i(x, t)$ с условием (1.4).

Будем искать решение (2.1) в виде (здесь и далее мы будем сохранять члены только до первого порядка по δ):

$$N^{\alpha\beta}(\mathbf{y}) = N^{\circ\alpha\beta}(\mathbf{y}) + \delta N^{1\alpha\beta}(\mathbf{y}) + \dots; \quad N^{\circ\alpha\beta}, N^{1\alpha\beta}, \dots \in \Pi(P_1) \quad (2.3)$$

Подстановка (2.3) в (2.1) и приравнивание коэффициентов при δ^0 и δ приводит к выводу: функции $\{N^{\circ\alpha\beta}(\mathbf{y})\}$ являются решением ячеечной задачи (2.1) при $\delta=0$, а $\{N^{1\alpha\beta}(\mathbf{y})\}$ определяются из решения задачи

$$\int_{P_1} [a_{ijkl}(\mathbf{y}) N_{k,l}^{1\alpha\beta} + b_{ijkl}(\mathbf{y}) (N_k^{\circ\alpha\beta} + y_{\alpha\beta} \delta_{\beta k})_{,l}] \varphi_{i,j} d\mathbf{y} = 0 \quad (2.4)$$

для всех $\varphi \in \Pi(P_1)$. Что касается усредненных коэффициентов A_{ijkl}^{\vee} , то с точностью до членов порядка δ они равны (это следует из подстановки (2.3) в формулу (2.2)):

$$\begin{aligned} A_{ij\alpha\beta}^{\vee} &= (\text{mes } P_1)^{-1} \left\{ \int_{P_1} (a_{ij\alpha\beta}(\mathbf{y}) + \delta b_{ij\alpha\beta}(\mathbf{y})) d\mathbf{y} - \right. \\ &- \int_{P_1} (a_{pqhl}(\mathbf{y}) + \delta b_{pqhl}(\mathbf{y})) (N_{p,q}^{\circ ij} + \delta N_{p,q}^{1ij} + \dots) (N_{h,l}^{\circ\alpha\beta} + \delta N_{h,l}^{1\alpha\beta} + \dots) d\mathbf{y} \left. \right\} = \\ &= a_{ijhl}^{\vee} - \delta (\text{mes } P_1)^{-1} \int_{P_1} (b_{pqhl}(\mathbf{y}) N_{p,q}^{\circ ij} N_{h,l}^{\circ\alpha\beta} + \\ &+ a_{pqhl}(\mathbf{y}) N_{p,q}^{\circ ij} N_{h,l}^{1\alpha\beta} + a_{pqhl}(\mathbf{y}) N_{h,l}^{1ij} N_{p,q}^{\circ\alpha\beta}) d\mathbf{y} \end{aligned} \quad (2.5)$$

где $\{a_{ijkl}^{\vee}\}$ — усредненные упругие постоянные ненапряженного композита (определяемые из (2.1), (2.2) при $\delta=0$). Формула (2.5) допускает дальнейшие преобразования, позволяющие исключить из нее функции $\{N^{1mn}\}$. Положим в (2.4) $\varphi = N^{\circ ij}$. Получим

$$\int_{P_1} (a_{pqhl} N_{h,l}^{1\alpha\beta} N_{p,q}^{\circ ij} + b_{pqhl} N_{h,l}^{\circ\alpha\beta} N_{p,q}^{\circ ij} + b_{pq\alpha\beta} N_{p,q}^{\circ ij}) d\mathbf{y} = 0$$

Откуда

$$\begin{aligned} \int_{P_1} a_{pqhl} N_{h,l}^{1\alpha\beta} N_{p,q}^{\circ ij} d\mathbf{y} &= - \int_{P_1} (b_{pqhl} N_{h,l}^{\circ\alpha\beta} N_{p,q}^{\circ ij} + b_{pq\alpha\beta} N_{p,q}^{\circ ij}) d\mathbf{y} \\ \int_{P_1} a_{pqhl} N_{h,l}^{\circ\alpha\beta} N_{p,q}^{1ij} d\mathbf{y} &= - \int_{P_1} (b_{pqhl} N_{h,l}^{\circ\alpha\beta} N_{p,q}^{\circ ij} + b_{hl ij} N_{h,l}^{\circ\alpha\beta}) d\mathbf{y} \end{aligned} \quad (2.6)$$

Подстановка (2.6) в (2.5) приводит к формуле

$$\begin{aligned} A_{ij\alpha\beta}^{\vee} &= a_{ij\alpha\beta}^{\vee} - \delta (\text{mes } P_1)^{-1} \int_{P_1} (b_{pqhl} N_{p,q}^{\circ ij} N_{h,l}^{\circ\alpha\beta} - b_{pqhl} N_{h,l}^{\circ\alpha\beta} N_{p,q}^{\circ ij} - \\ &- b_{pq\alpha\beta} N_{p,q}^{\circ ij} - b_{pqhl} N_{h,l}^{\circ\alpha\beta} N_{p,q}^{\circ ij} - b_{hl ij} N_{h,l}^{\circ\alpha\beta}) d\mathbf{y} = \\ &= a_{ij\alpha\beta}^{\vee} + \delta (\text{mes } P_1)^{-1} \int_{P_1} (b_{pqhl} N_{h,l}^{\circ\alpha\beta} N_{p,q}^{\circ ij} + b_{pq\alpha\beta} N_{p,q}^{\circ ij} + b_{hl ij} N_{h,l}^{\circ\alpha\beta}) d\mathbf{y} \end{aligned}$$

Откуда с учетом $b_{ijkl}(\mathbf{y}) = \delta_{ik} \sigma_{jl}^{\circ}(\mathbf{y})$ получаем окончательную формулу (2.7)

$$A_{ij\alpha\beta}^{\vee} = a_{ij\alpha\beta}^{\vee} + \delta (\text{mes } P_1)^{-1} \int_{P_1} (\sigma_{ql}^{\circ} N_{p,l}^{\circ\alpha\beta} N_{p,q}^{\circ ij} + \sigma_{q\beta}^{\circ} N_{\alpha,q}^{\circ ij} + \sigma_{ij}^{\circ} N_{i,l}^{\circ\alpha\beta}) d\mathbf{y}$$

Получение оценок погрешности полученного решения (в частности, обоснование сходимости ряда (2.3)) не представляет труда в связи с положительной определенностью оператора в (2.1) (это следует из работы [8]) и может быть осуществлено стандартными методами. Функции $\{N^{\circ\alpha\beta}\}$ вы-

числяются при решении задачи усреднения для тела без начальных напряжений (т. е. при $\delta=0$). Названная задача является классической [2, 3, 9]. Методы ее решения в настоящее время разрабатываются. В [9, 10] изложены эффективные методы решения ячеечных задач в плоском случае, методы решения в пространственном случае изложены в [9].

3. Случай, допускающий аналитическое решение. К рассматриваемым случаям могут быть отнесены случай сред слоистого строения [2, 3, 9] и случай каркасных материалов, для которых развит метод получения приближенных решений задачи усреднения [11]. Рассмотрим эти случаи, позволяющие выявить некоторые эффекты, возникающие в композитах и каркасах (последние представляют из себя частный случай композитов [12–14]) за счет приложения к ним предварительной нагрузки (а также за счет разного рода внутренних напряжений, из которых отметим технологические усадочные напряжения).

Слоистые тела. Для тел слоистого строения функции $a_{ijkl}(x/\varepsilon)$ и $\sigma_{ij}^{0e}(x)$ зависят только от одной пространственной переменной. В качестве таковой возьмем x_3 (слои параллельны плоскости Ox_1x_2). Тогда ячеечная задача

$$[A_{ijkl}(y)(N_k^{\alpha\beta} + y_\alpha \delta_{\beta k}), l], j=0, \quad N^{\alpha\beta}(y) \in \Pi(P_1)$$

сводится к системе обыкновенных дифференциальных уравнений относительно функции $N^{\alpha\beta}(y_3)$. Нетрудно, зная функции $N^{\alpha\beta}(y_3)$, выразить локальные напряжения $\{\sigma_{ij}^{0e}(x_3)\}$ в композите через усредненные напряжения $\{\sigma_{ij}\}$ (далее через $\{\sigma_{ij}\}$ обозначаются усредненные начальные напряжения в теле, равные среднему от локальных напряжений $\{\sigma_{ij}^{0e}\}$). Имеет место равенство (см. например [9]):

$$\sigma_{33}^{0e} = \sigma_{33}, \quad (3.1)$$

$$\sigma_{ij}^{0e} = \sigma_{ij} E \nu [(1+\nu)(1-2\nu)]^{-1} \langle E \nu [(1+\nu)(1-2\nu)]^{-1} \rangle, \quad (i, j) = (1,1), (2,2)$$

$$\sigma_{ij}^{0e} = \sigma_{ij} E (1+\nu)^{-1} \langle E (1+\nu)^{-1} \rangle, \quad (i, j) = (1,2), (2,1)$$

$$\sigma_{ij}^{0e} = \sigma_{ij}, \quad (i, j) = (1,3), (3,1), (2,3), (3,2)$$

где $E = E(x_3/\varepsilon)$, $\nu = \nu(x_3/\varepsilon)$. При $\nu = \text{const}$ (коэффициенты Пуассона слоев совпадают) формулы (3.1) еще более упрощаются. Выпишем для случая $\nu = \text{const}$ коэффициенты $A_{ijkl}(x_3/\varepsilon) = a_{ijkl}(x_3/\varepsilon) + \delta_{ik} \sigma_{jl}^{0e}(x_3)$ (в приводимых ниже формулах (3.2), (3.3) суммирование по повторяющимся индексам не производится):

$$A_{1111} = E(1-\nu) [(1+\nu)(1-2\nu)]^{-1} + E \langle E \rangle^{-1} \sigma_{ii} \quad (i=1, 2) \quad (3.2)$$

$$A_{3333} = E(1-\nu) [(1+\nu)(1-2\nu)]^{-1} + \sigma_{33}$$

$$A_{ijij} = E \nu [(1+\nu)(1-2\nu)]^{-1} \quad (i \neq j)$$

$$A_{1212} = E(1+\nu)^{-1} + E \langle E \rangle^{-1} \sigma_{22}, \quad A_{2121} = E(1+\nu)^{-1} + E \langle E \rangle^{-1} \sigma_{11}$$

$$A_{1313} = E(1+\nu)^{-1} + \sigma_{33}, \quad A_{3131} = E(1+\nu)^{-1} + E \langle E \rangle^{-1} \sigma_{22},$$

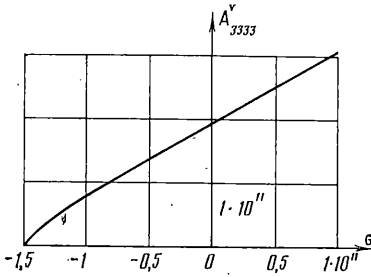
$$A_{2323} = E(1+\nu)^{-1} + \sigma_{33}, \quad A_{3232} = E(1+\nu)^{-1} + E \langle E \rangle^{-1} \sigma_{22}$$

здесь $E = E(x_3/\varepsilon)$, треугольными скобками обозначаются осредненные по ячейке периодичности [2, 3].

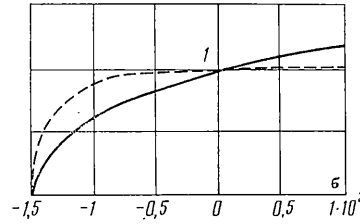
Замечание 2. Из формул (3.2) видно, что величины $\{A_{ijkl}(x/\varepsilon)\}$ не обладают в общем случае симметриями, характерными для упругих постоянных ненапряженных тел. Легко проверить, что вместе с тем оператор с коэффициентами $A_{ijkl}(x/\varepsilon) = a_{ijkl}(x/\varepsilon) + \delta_{ik} \sigma_{jl}^{0e}(x)$ является симметричным на $\{H_0^1(Q)\}^3$.

Подсчитаем коэффициенты $\{A_{ij\check{kl}}\}$ усредненного оператора с коэффициентами (3.2). Ячеечная задача в этом случае также сводится к системе обыкновенных дифференциальных уравнений. Не приводя ее решение (оно подобно проведенному в [9]) дадим только окончательный результат:

$$A_{3333} = [(1+\nu)(1-2\nu)]^{-1} \langle (E(1-\nu) + \sigma_{33}(1+\nu)(1-2\nu))^{-1} \rangle^{-1} \quad (3.3)$$



Фиг. 1



Фиг. 2

$$A_{iii}^{\check{}} = \langle E \rangle (1-\nu) [(1+\nu)(1-2\nu)]^{-1} + \sigma_{ii} \quad (i=1, 2)$$

$$A_{1313}^{\check{}} = (1+\nu)^{-1} \langle (E + \sigma_{33}(1+\nu))^{-1} \rangle^{-1}, \quad A_{3131}^{\check{}} = (1+\nu)^{-1} \langle (E + \sigma_{33}(1+\nu))^{-1} \rangle^{-1}$$

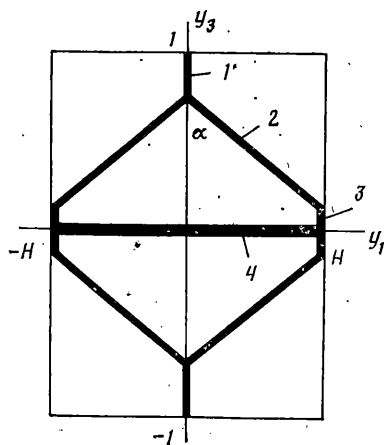
$$A_{2323}^{\check{}} = (1+\nu)^{-1} \langle (E + \sigma_{33}(1+\nu))^{-1} \rangle^{-1}, \quad A_{3232}^{\check{}} = (1+\nu)^{-1} \langle (E + \sigma_{22}(1+\nu))^{-1} \rangle^{-1}$$

$$A_{1212}^{\check{}} = \langle E \rangle (1+\nu)^{-1} + \sigma_{22}, \quad A_{2121}^{\check{}} = \langle E \rangle (1+\nu) + \sigma_{11}$$

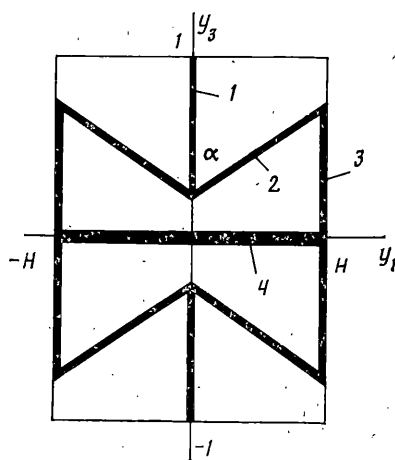
Замечание 3. Из формул (3.3) видно, что в общем случае $A_{ijkl}^{\check{}} \neq a_{ijkl}^{\check{}} + \delta_{ik}\sigma_{jl}$. Зависимость коэффициента $A_{3333}^{\check{}}$ от усредненного предварительного напряжения σ_{33} представлена на фиг. 1 (для двухкомпонентного композита со слоями равной толщины и $E_1 = 2 \cdot 10^{11}$ Па, $E_2 = 1 \cdot 10^{11}$ Па, $\nu_1 = \nu_2 = 1/3$, $\rho_1 = 5 \cdot 10^3$ кг/м³, $\rho_2 = 3 \cdot 10^3$ кг/м³ при $\sigma_{33} > -E_2/(1+\nu)$). Таким образом при расчете усредненных характеристик напряженных композитов в качестве исходной модели должна браться общая модель неоднородного тела и к ней применяться методы усреднения [2, 3]. Попытка применить методы расчета напряженных тел [4] к телу с усредненными характеристиками (усредненными жесткостями $\{a_{ijkl}^{\check{}}\}$ и усредненными предварительными напряжениями $\{\sigma_{ij}\}$) приведет в силу сказанного выше к ошибочному результату. Для тел с медленно осциллирующими (не зависящими от x/ϵ) характеристиками равенство $A_{ijkl}^{\check{}} = a_{ijkl}^{\check{}} + \delta_{ik}\sigma_{jl}$ имеет место (см. также [15]).

Замечание 4. Одной из практически важных характеристик упругих сред является скорость распространения в них упругих колебаний. В рассмотренной нами слоистой среде скорость распространения продольных волн в направлении оси Ox_3 (т. е. поперек слоев) при отсутствии начальных напряжений равна $c = (a_{3333}^{\check{}} / \langle \rho^e \rangle)^{1/2}$. Формула справедлива для волн длина λ которых много больше характерного размера неоднородностей: $\lambda \gg \epsilon$. При приложении усредненного напряжения σ_{33} скорость распространения волн указанного типа равна $c(\sigma) = (A_{3333}^{\check{}} / \langle \rho^e \rangle)^{1/2}$, где $A_{3333}^{\check{}}$ дается (3.3). При этом следует наложить условие $\sigma_{33} > -E_{\min}(1-\nu) / [(1+\nu)(1-2\nu)]$, где E_{\min} — минимум модулей Юнга компонентов композита. Как видно при $\sigma_{33} > 0$ (растягивающее напряжение) скорость возрастает, при $\sigma_{33} < 0$ (сжимающее напряжение) — убывает. Качественно такая же картина имеет место и в однородных телах. На фиг. 2 приведен график функции $c(\sigma)/c$ (сплошная линия) в зависимости от σ_{33} (для композита, описанного в замечании 3). Представлен также график функции $c(\sigma) [(a_{3333}^{\check{}} + \sigma_{33}) / \langle \rho^e \rangle]^{-1/2}$ (штриховая линия). Снова видим, что расчет характеристик напряженных композитов следует проводить методом гомогенизации.

Каркасные конструкции. Под каркасными понимаются материалы и конструкции, ячейка периодичности P_1 которых представляет из себя балочную, оболочечную и т. п. конструкцию (см. [2, 11]). Для расчета усредненных характеристик таких конструкций (в частности, для реше-



Фиг. 3



Фиг. 4

ния возникающих ячеечных задач) применяются приближенные методы теории балок, пластинок и оболочек (см. [11]).

Для анализа эффектов, которые могут возникать в напряженных каркасах, мы рассмотрим два вида плоских балочных каркасов, ячейки периодичности которых изображены на фиг. 3, 4. При приложении сжимающих усредненных осевых усилий (оси показаны на рисунках) в первом каркасе возникают сжимающие напряжения, во втором — также и растягивающие (в элементе вида 2, нумерация элементов указана на рисунках). Пусть усредненные напряжения имеют вид: $\sigma_{33} < 0$, $\sigma_{ij} = 0$ при $(i, j) \neq (3, 3)$. Подсчитаем A_{3333} для этого случая (все остальные A_{ijkl} можно подсчитать аналогично). Сначала следует определить локальные напряжения $\{\sigma_{ij}^{0e}\}$, возникающие при приложении к телу усредненного напряжения σ_{33} . Ячеечная задача для элементов, изображенных на фиг. 3, 4, представляет из себя задачу о равновесии этих элементов при нулевых массовых силах при условии периодичности величин $U - y_3 e_3$ (U — перемещения) и соответствующих перемещениям U напряжений (см. [11]). Для элементов ячеек фиг. 3, 4 решения ячеечных задач во всех балках имеют составляющую вида «растяжение-сжатие». В этой связи при решении пренебрежем изгибными напряжениями в балках (малыми по сравнению с напряжениями растяжения-сжатия для тонких балок). Будем считать (для упрощения выкладок), что модули Юнга элементов типа 3, 4 (см. фиг. 3, 4) $E_3 \sim E_4 \gg E_1 \sim E_2$. Тогда с точностью $E_1/E_3 \ll 1$ осевые напряжения в элементах ячеечной конструкции (в балках 1—4) при усредненном напряжении σ_{33} есть (σ_1^{0e} не влияет на A_{3333} в связи с чем не вычисляется):

$$\sigma_1^{0e} = -H |\sigma_{33}| / S_1 |\sigma_{33}| / H \quad (3.4)$$

$$\sigma_2^{0e} = \mp S_1 (2S_2 \cos \alpha)^{-1} |\sigma_1^{0e}|, \quad \sigma_3^{0e} = \sigma_1^{0e}$$

где S_i — ширина i -й балки, H — ширина ячейки периодичности, угол α указан на фиг. 3, 4. В формуле (3.4) знак «минус» соответствует фиг. 3, а «плюс» — фиг. 4. Напряжения в направлениях нормальным осям балок — нуль. Теперь вычислим A_{3333} . Для этого следует провести решение ячеечной задачи для конструкций, изображенных на фиг. 3, 4, сделав замену модулей Юнга E_i на величины $E_i + \sigma_i^{0e}$, где осевые напряжения в балках σ_i^{0e} ($i=1, 2, 3$) даются (3.4). В результате (A_{3333} равен в рассматриваемом случае напряжению σ_1^{0e} в балке 1, умноженному на S_1/H [14]) получаем (минус — фиг. 3, плюс — фиг. 4):

$$A_{3333} = 2H^{-1} \left\{ l_2 \left[S_2^2 \cos^2 \alpha \left(\frac{E_2}{1-\nu^2} \mp \frac{S_1 |\sigma_1^{0e}|}{2S_2 \cos \alpha} \right) \right]^{-1} + \right. \quad (3.5)$$

$$+ l_1 \left[S_1^2 \left(\frac{E_1}{1-\nu^2} - |\sigma_1^{\circ e}| \right) \right]^{-1} \}^{-1}$$

где l_i — длина i -й балки (напомним, что ячейка периодичности имеет размер $H \times 2$). Подставив $|\sigma_1^{\circ e}| = |\sigma_{33}|H/S_1$ из (3.4), имеем

$$A_{3333} \checkmark = 2H^{-1} \left\{ l_2 \left[S_2^2 \cos^2 \alpha \left(\frac{E_2}{1-\nu^2} \mp \frac{|\sigma_{33}|H}{2S_2^2 \cos^2 \alpha} \right) \right]^{-1} + \right. \\ \left. + l_1 \left[S_1^2 \left(\frac{E_1}{1-\nu^2} - \frac{|\sigma_{33}|H}{S_1} \right) \right]^{-1} \right\}^{-1} \quad (3.6)$$

Полученная формула справедлива для любых σ_{33} , при которых положительны выражения в скобках в (3.6). Варьируя параметры в форме (3.6), можно заметить, что коэффициент $A_{3333} \checkmark$, даваемый (3.6), может принимать значения как большие так и меньшие $a_{3333} \checkmark$. Чтобы проиллюстрировать это утверждение по возможности наглядно, рассмотрим формулу (3.6) в случае малых предварительных напряжений: $\sigma_{33} \ll 1$. В этом случае, выделяя в знаменателе линейную по σ_{33} часть, получим (минус — фиг. 4, плюс — фиг. 3):

$$A_{3333} \checkmark = 2H^{-1} \left\{ l_2 (1-\nu^2) (E_2 S_2^2 \cos^2 \alpha)^{-1} + \right. \\ \left. + |\sigma_{33}| H [\pm l_2 (1-\nu^2)^2 (2S_2^3 E_2 \cos^2 \alpha)^{-1} + l_1 (1-\nu^2)^2 (S_1^3 E_1^2)^{-1}] \right\}^{-1} \quad (3.7)$$

Как видно, множитель при $|\sigma_{33}|$ для ячеечной конструкции фиг. 3 положителен, вследствие чего $A_{3333} \checkmark < a_{3333} \checkmark$, где $a_{3333} \checkmark$ — усредненная жесткость ненапряженного каркаса (дается формулой (3.7) при $\sigma_{33} = 0$). Для ячеечной конструкции, изображенной на фиг. 4, множитель при $|\sigma_{33}|H$ в (3.7) имеет вид $-l_2 (1-\nu^2)^2 (2S_2^3 E_2 \cos^2 \alpha)^{-1} + l_1 (1-\nu^2)^2 (S_1^3 E_1^2)^{-1}$ и может быть, очевидно, сделан отрицательным за счет подходящего выбора модулей Юнга E_1, E_2 или геометрических характеристик балок l_1, l_2, S_1, S_2 (напримр, за счет малости E_2 по сравнению с E_1). Таким образом, в рассматриваемом случае можно добиться выполнения неравенства $A_{3333} \checkmark > a_{3333} \checkmark$.

Выше уже отмечалось влияние предварительного напряжения σ_{33} на скорость распространения продольных волн $c(\sigma) = (A_{3333} \checkmark^3 / \langle \rho^e \rangle)^{1/2}$. Однако, в рассматривавшемся ранее случае $c(\sigma) < c$ при $\sigma_{33} < 0$ (сжимающие напряжения в случае слоистого композита приводили к убыванию скорости волн — как в однородной среде, зависимость $c(\sigma)$ от σ_{33} в композите была, правда, иной нежели в однородной среде). В случае каркасов, как видно из приведенного примера, сжимающее усредненное напряжение может приводить как к возрастанию, так и к уменьшению скорости распространения упругих волн. Как видно из примера, этот эффект связан с геометрией ячейки периодичности. Указанный эффект объясняет одну из возможных причин несовпадения упругих характеристик пористых сред, измеренных методами сейсморазведки и на натуральных образцах (кернах породы).

СПИСОК ЛИТЕРАТУРЫ

1. Васидзу К. Вариационные методы в теории упругости и пластичности. М.: Мир. 1987. 542 с.
2. Бахвалов Н. С., Панасенко Г. П. Осреднение процессов в периодических средах. М.: Наука. 1984. 352 с.
3. Bensoussan A., Lions J.-L., Papanicolaou G. Asymptotic analysis for periodic structures. Amsterdam: North-Holl. Publ. Comp., 1978. 700 p.
4. Colombini F., Spagnolo S. On the convergence of solutions of hyperbolic equations // Comm. Partial Different. Equat. 1978. V. 3. № 1. P. 77–103.
5. Санчес-Паленсия Э. Неоднородные среды и теория колебаний. М.: Мир. 1984. 472 с.
6. Колпаков А. Г. Осреднение некоторых систем обыкновенных дифференциальных уравнений // Мат. сб. 1982. Т. 119. № 4. С. 534–547.

7. *Marcellini P.* Su una convergenza di funzioni convesse // *Boll. Unione Mat. Ital.* 1973. V. 8. № 1. P. 137–158.
8. *Жиков В. В., Козлов С. М., Олейник О. А., Ха Тьен Нгоан.* Усреднение и G – сходимость дифференциальных операторов // *Успехи мат. наук.* 1979. Т. 34. № 5. С. 65–133.
9. *Победря Б. Е.* Механика композиционных материалов. М.: изд-во МГУ, 1984. 336 с.
10. *Ван Фо Фы Г. А.* Теория армированных материалов с покрытиями. Киев: Наук. думка, 1971. 232 с.
11. *Колпаков А. Г.* К определению усредненных характеристик упругих каркасов // *ПММ.* 1985. Т. 49. Вып. 6. С. 969–977.
12. *Берлянд Л. В.* О колебаниях упругого тела с большим числом мелких пустот // *Докл. АН УССР. Сер. А.* 1983. № 2. С. 3–5.
13. *Каламкаргов А. Л.* К определению эффективных характеристик сетчатых оболочек и пластинок периодической структуры // *Изв. АН СССР. МТТ.* 1987. № 2. С. 181–185.
14. *Колпаков А. Г.* Усредненные характеристики термоупругих каркасов // *Изв. АН СССР. МТТ.* 1987. № 6. С. 53–61.
15. *Колпаков А. Г.* Усреднение в задаче изгиба и колебаний напряженных неоднородных пластинок // *ПММ.* 1987. Т. 51. Вып. 1. С. 60–67.

Новосибирск

Поступила в редакцию
25.IV.1988